

# INTERSECTIONES TENDINEAE'NIN MORFOLOJİSİ

Çiğdem İÇKE\*, Doğan ÖZYURT\*\*, Esin KORMAN\*

D.E.Ü. Tip Fakültesi Anatomi Anabilim Dalı\*  
D.E.Ü. Tip Fakültesi Histoloji-Embriyoloji Anabilim Dalı\*\*

## ÖZET

*Musculus rectus abdominis (MRA)*'ın ön yüzünde bulunan intersectiones tendineae (IT) adlı kırıştı yapılarının şekil ve lokalizasyon ve bunlar arasındaki ilişki 72 olguda incelendi. IT'lerin düz (% 25.75), kavis veya açılı (% 46.6) ve multifazik (% 27.65) olduğu belirtlendi. İncelenen 264 IT'nin % 81.4'u umblikus düzeyinde veya üstünde yer almaktadır. IT'ların görüleme sıklığı şöyledir: 2 IT % 3, 3 IT % 39, 4 IT % 47, 5 IT % 11. Kas transplantasyonları için uygun bir kas olan MRA'ın segmentlerinin hedeflenmesine yardımcı olan IT'ların araştırılan özellikleri ile ilgili bulgular literatür bilgileri ile karşılaştırılarak tartışıldı.

**Anahtar sözcükler:** *Musculus rectus abdominis, intersectiones tendineae, kas transplantasyonu*

Göğüs ön duvarının alt bölümünden pubis'e kadar uzanan *musculus rectus abdominis* (MRA), karın duvarını önden destekler. Ön yüzünde, vagina musculi recti abdominis'in ön yaprağına birleşmiş olan ve farklı sayı, şekil ve lokalizasyon gösteren, intersectiones tendineae (IT) adlı kırıştı yapılar yer alır (1,2,3,4,5,6). Transvers rektus abdominis miyokutanöz flepleri (Tram flap) mastektomiyi takiben sık olarak kullanılmaktadır (7). Ayrıca fasikal paralizi tedavisinde de nörovaskularize serbest MRA transplantasyonu bir yöntem olarak uygulanmaktadır (8). Bunların yanı sıra MRA, göğüs, kasık, üriner sistem, perine ve kranyumdaki defektlerin onarımında da kullanılmaktadır (9). IT, MRA'nın segmentlerinin standartizasyonunda

## SUMMARY

The shape, localization and the relationships of tendinous intersections (IT) of *rectus abdominis* muscle (MRA) were investigated in 72 cases. The shapes were found to be straight in 25.75 %, curved or angular in 46.6 % and multiphasic in 27.75 %. Of the 264 cases studied 81.4% of the tendinous intersections were localized of umbilicus level or above. The incidences of IT were found to be 2 IT 3%, 3 IT 39%, 4 IT 47% and 5 IT 3%. 3 IT 39%, 4 IT 47% and 5 IT 11 %. The results of the present investigations on IT that helps identifying MRA segments available for muscle transplantation were discussed with a review of the literature.

**Key words:** *Rectus abdominis muscle, tendinous intersections, muscle transplantation*

yardımcı olmaktadır.

Bu çalışmada, IT'ların şekil, sayı ve lokalizasyon farklılıklarını incelenmiştir.

## GEREÇ ve YÖNTEM

Dokuz Eylül Üniversitesi Tip Fakültesi Anatomi Anabilim Dalı Laboratuvarında 1991-1996 yıllarında eğitim amaçlı kullanılan 36 adet erişkin insan kadavrasında bilateral olarak 72 MRA ve IT'lerin şekilleri, lokalizasyonları ve sıklıkları araştırıldı. IT'ların incelenmesi için abdominal bölgeyi örten deri, fascia superficialis ve profundus kaldırıldıktan sonra vagina musculi recti abdominis'in ön yaprağı açılarak MRA'e ulaşıldı. Kalın ve sağlam olan ön yaprağın interseksiyonlara tutunduğu yerler dikkatlice diske edildi.

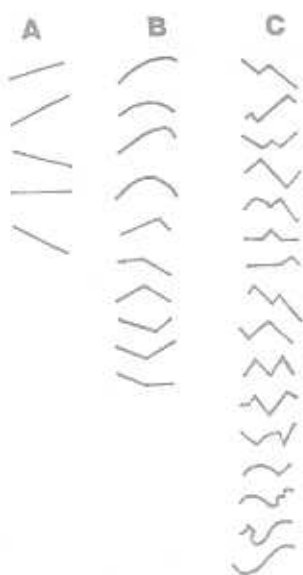
## BULGULAR

Oigutarımızda, MRA'in origosunun 5,6,7. kıkırdak kostaların ön yüzleri ve processus xiphoideus'ta, insersiyosunun ise os pubis'in ramus superior'u ve symphysis pubica'nın ön yüzünde yer aldığı saptanmıştır. MRA'in uzunluğu boyunca ve ön yüzünde belirgin şekilde gözlenen intersectiones tendineae'nin değişik şekilde farklı özellikleri, değişik sayıarda bulunabildikleri ve farklı lokalizasyon gösterildikleri gözlemlenmiştir.

Intersectiones tendineae'nin şekli:

Üç gruba ayrılarak incelendi.

1.grup: Düz çizgi şeklinde olanlar; kasın uzun eksem ile değişik derecelerde açı yapan düzgün tendonöz yapılardır (%25.75) (Şekil 1,2).



Şekil 1: IT'lerin şekilleri; A-düz çizgi şekli, B-kavis veya açılı, C-multifazik.

2.grup: Basit eğimli ya da açı gösterenler; tek bir kavis şeklinde veya açı oluşturan iki kırık çizgi şeklinde olabilirler. Kavşın iç bükeyliğinin genellikle aşağı yönelmesine karşın, açı gösterenlerde açının açıklığı aşağı ya da yukarı bakabilemektedir (%46.6) (Şekil 1,2).



Şekil 2: 3 IT'li örnek (açı yapan IT)



Şekil 3: Umblikusun üstünde ve altındaki multifazik IT'ler

**3.grup:** Multifazik olanlar; çizgi, açı ve kavis oluşturan tendonöz yapıların farklı kombinasyonlarıdır (%27.65) (Şekil 1.3).

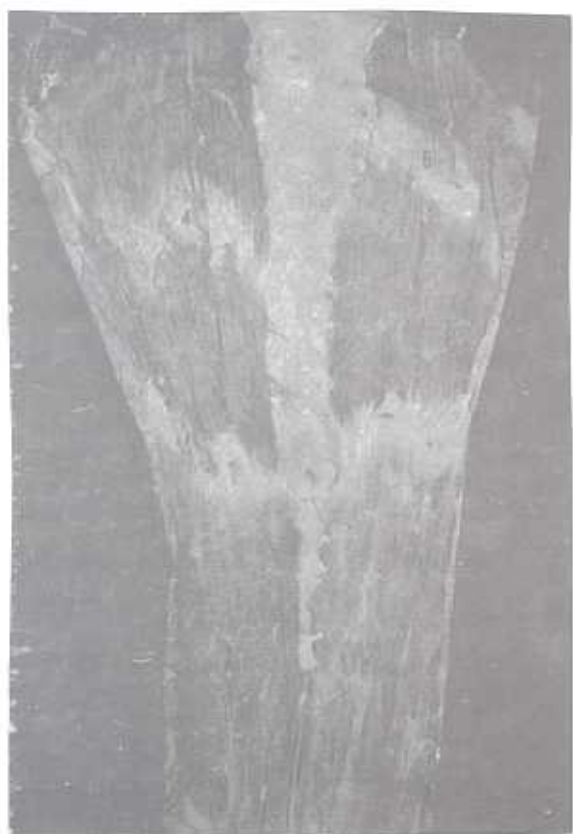
Intersectiones tendineae'nin sayısı;

72 olguda 264 IT incelemiştir. Buna göre MRA'ın uzunluğu boyunca görülen IT'lerin sayısı 2-5 arasında değişmektedir. Her bir MRA'e ortalama olarak 3.66 IT düşügü belirlenmiştir. IT'lerden ,umbilicus ve üzerinde yer alanların ortalaması 2.95 olarak saptanırken, umbilicustan altında yer alanların ortalamasının 0.7 olduğu ortaya çıkmıştır.

MRA boyunca intersectiones tendineae'nin görülmeye sıklığı şöyledir: 2 IT %3, 3 IT % 39, 4 IT % 47, 5 IT %11 oranında bulunmaktadır (Şekil 2.3.4.5.6).



Şekil 5: 3 IT'li örnek (Açı yapan IT)



Şekil 4: 2 IT'li örnek (Kavis şekilli IT)



Şekil 6: 4 IT'li örnek (Multifazik IT)

Intersectiones tendineae'nin lokalizasyonu:

IT'nin lokalizasyonu, MRA'in medial kenarının uzunluğu ile olan ilişkisine göre saptanmıştır. MRA'in medial kenarının uzunluğu processus xiphoides, umbilicus ve symphysis pubica esas alınarak ölçüldü. Processus xiphoides ve umbilicus arasındaki ortalama uzunluk 19.45 cm, umbilicus ve symphysis pubica arası ortalama uzunluk ise 16.09 cm olarak belirlenmiştir. Processus xiphoides ve symphysis pubica arasındaki ortalama uzaklık 35.55 cm olmaktadır.

IT'lerin %67'si simetrik olarak bulunurken, umbilicus düzeyinde bilateral olarak bulunanlar %37.5 oranındadır. (Şekil 4). Umbilicus üstündeki IT'lerin umbilicusa olan ortalama uzaklıkları şöyledir: birinci 17.3 cm, ikinci 9.84 cm, üçüncü 2.75 cm'dir. Umbilicus'un altındaki IT'nin göbeğe olan ortalama uzaklığı 3.0 cm'dir. Umbilicus'un üstündeki IT'lerden 1. ve 2.ler arasındaki ortalama uzaklık 7.5 cm, 2. ve 3. ler arasındaki ortalama uzaklık ise 7.9 cm olarak ölçülmüştür.

IT'lerin %84.4'ü kası enine tam olarak katederken (Şekil 2,3,4), %7.6'sı kısa oldukları için kası tam olarak katedememektedir (Şekil 3). %8'i kasın yarı genişliğinden az bölümünü katedebilmektedir (Şekil 5).

Intersectiones tendineae'nin şekli ve lokalizasyonları arasındaki ilişki:

IT'lerin %81.4'ü umbilicus düzeyinde ve üstünde yer almaktadır (Şekil 3,6). Bunların da %48'i şekil olarak 2.gruptakilerin, %21'i 1.gruptakilerin, %31'i ise 3.gruptakilerin özelliklerini

taşımaktadır. Umbilicus'un altında yer alan IT'lerin oranı %18.56 olarak belirlenmiştir (Şekil 6). Bunların %44.8'i şekil olarak 1.grup, %36.7 si 2.grup, %18.36'sı 3.gruptakilerin özelliklerini göstermektedir.

### TARTIŞMA

Kas transplantasyonlarının sık olarak uygulandığı rekonstruktif cerrahide, MRA, gerek uzun sinir ve damarları gerek yassi ve uygun uzunlukta segmentlere sahip oluşu nedeni ile avantajlı bir yapıya sahiptir (7,8,9). Kaynaklarda MRA ve IT'nin anatomisi ile ilgili araştırmalar azdır. Araştırmamızda, MRA'yı klinik açıdan önemi olan segmentlere ayıran IT'nin morfolojik özelliklerini esas aldı. Kası oluşturan segment sayısı IT sayısına bağlıdır. IT'lerin sayısı genelde 3 olarak bildirilmiştir (1,4,9,10,11,12,13,14); bunların ilki processus xiphoides, ikincisi umbilicus düzeyinde yer alırken üçüncüsü ilk ikisinin arasındaki mesafenin ortalarında bulunmaktadır. IT'nin 4 (2,3,6,15,16,17,18,19), 5 (6) adet bulunabildiği gibi, 1 veya 2 tane de (11,19) olabildiği bildirilmiştir. Milloy ve arkadaşları (19), IT'nin sayısının en az bir, en çok 4 olduğunu ve sıklıklarını şöyle bildirmiştirlerdir: 1 IT'li olgular %1, 2 IT'liler %6, 3 IT'liler %58 ve 4 IT'li olanlar %35'tir. Çalışmamızda ise, 4 IT'li olgular çoğunluğu (%47) oluştururken bunu, 3 (%39), 5 (%11) ve 2 (%3) IT'li olgular izlemektedir.

IT, kasın iç ve dış kenarları arasında, kası enine olarak tam veya kısmen katetmektedir, nadiren de kasın yarı genişliğinden kısa olan fragmanlar şeklinde bulunabilmektedir (1,3,4,10,12,14,15,18).

Milloy ve arkadaşları (19) IT'nin kası tam katettiği olguların %67, kısmen katettiklerinin %24, fragman şeklinde olanların %9 oranında olduğunu bildirmiştirlerdir. İncelediğimiz 264 IT'nin %84.4'ü kası tam olarak katederken, %7.6'sı kısmen katetmekte, %8'i fragman şeklinde bulunmaktadır.

IT'ler, MRA'nın ön yüzünü horizontal veya oblik olarak geçerken kası herbiri kontraksiyon gücüne sahip segmentlere ayırmaktadır. Bu özellik uzun olan kasa, daha kısa segmentlerde kontraksiyon olağanlığı sağlar. En alt segment en uzun ve kasılma gücü en fazla olan bölümdür. İki IT arasında yer alan her bir segmentin kendine ait arteri ve torakal segmentlerden 3 veya 4 dal halinde gelen sınırının bulunması, MRA'yı, transplantasyon uygulamalarında tercih edilen bir kas konumuna getirmektedir (7,8,9,10,14, 15,19).

IT'nin lokalizasyonunun belirlenmesinde MRA'nın veya medial kenarının uzunluğunun saptanmış olması önem taşır. Milloy ve ark.(19), kasın uzunluğunun 28 cm ile 43 cm arasında değiştiğini bildirirlerken, araştırmamızda kasın medial kenarının ortalama uzunluğu 35.55 cm olarak saptanmıştır.

IT'nin lokalizasyonu saptanırken, bunların umbilicus'a olan ortalama uzaklıklarını belirledik. Milloy ve ark.(19) MRA'yı 4 bölgeye (zon) ayırarak IT'nin lokalizasyon sıklığını incelemiştirlerdir. Bu zonların sınırları söyledir: 1.zon kasın en üst bölümündür ve origosundan, lateral kenarının kostal kiyi ile

keştiği yere kadar uzanır; 2.zon, 1. zonun alt sınırı ile umbilicus arasındaki bölgedir; 3.zon umbilicusun altındaki 2 cm genişliğindedeki banttır; 4.zon ise, 3.zonun alt sınırı ile kasın intersiyonu arasındadır. Tablo I'de Milloy ve arkadaşlarının bölgesel ayrimına göre IT'nin lokalizasyonu araştırmamızın sonuçları ile karşılaştırılarak gösterilmiştir. Diğer araştırmalarda sayısı 3 olarak bildirilen IT'nin genel olarak processus xiphoideus ve umbilicus düzeyleri ile burların ara mesafesinde yer almış olduğuna yukarıda işaret etmişik (1,4,5,9,11, 12,14).

IT'nin şekilleri, transvers veya oblik olarak ya da zigzaglı yol izleyerek kasın ön yüzünde yer alan kirişimsi yapılar olarak tanımlanmıştır (1,3,4,10,12,14,15). Tablo II'de farklı şekillerdeki IT'nin görülmeye sikliklarını, Tablo III'te ise IT'nin şekillerinin zonlara göre görülmeye siklikları karşılaştırılmış olarak gösterilmiştir. Milloy ve ark.nın (19) araştırmasındaki IT şekillerinin tanımı ile bizim çalışmamızdakiler benzerlik göstermektedir. Şekillerine göre en sık bulunanlar kavis ve açılır olanları kapsayan grup 2'dir. Zonlara göre sıklığa bakıldıkça yine grup 2 çoğunluğu oluşturmaktadır. Aneak 4.zonda farklılıklar ortaya çıkmaktadır.

Sonuç olarak IT'nin sayı ve lokalizasyonunun belirlenmesi, MRA'nın da segmentlerinin belirlenmesinde yardımcı olmakta ve böylece özellikle MRA flepleri kullanılarak yapılan girişimler açısından önem kazanmaktadır.

Tablo I: IT'lerin zonlara göre görülmeye sıklığı

	Araştırmamızda		Milloy ve arkadaşları	
	IT Sayısı	Sıklık % olarak	IT Sayısı	Sıklık % olarak
1. Zon	1	65	1	77
	2	10	2	12
	3	-	-	-
	Yok	24	Yok	11
2. Zon	1	36	1	75
	2	54	2	24
	3	7	-	-
	Yok	3	Yok	1
3. Zon	1	67	1	68
	2	-	2	1
	Yok	33	Yok	31
4. Zon	1	43	1	33
	2	1	-	--
	Yok	56	Yok	67

Tablo II. IT'lerin şekillerine göre görülmeye sıklıkları

	Araştırmamızda % olarak	Milloy ve ark. % olarak
Grup 1	27	22.5
Grup 2	47	50
Grup 3	26	27.5

Tablo III. Zonlara göre IT'lerin gösterdikleri şekillerin sıklığı

	Şekil	Araştırmamızda	Milloy ve arkadaşları
1. Zon	Grup 1	34	22
	Grup 2	56	38
	Grup 3	10	21
	Fragman	-	19
2. Zon	Grup 1	20	13
	Grup 2	45	59
	Grup 3	32	27
	Fragman	3	1
3. Zon	Grup 1	17	27
	Grup 2	49	43
	Grup 3	34	26
	Fragman	-	4
4. Zon	Grup 1	21	30
	Grup 2	35	29
	Grup 3	12	26
	Fragman	32	15

— KAYNAKLAR —

1. Çimen A. Anatomi. 4.Baskı Bursa:Uludağ Üniversitesi Basimevi,1994;144.
2. Dere F. Anatomi.Cilt 1. 1.Baskı Adana: Kemal Matbaası,1988;171.
3. Odar IV. Anatomi Ders Kitabı,12.Baskı İstanbul: Elif Matbaacılık A.Kommandit Şti.,1980;97.
4. Snell RS. Clinical Anatomy for medical students. Fourth edition. Boston: Little, Brown and Company,1992;162
5. Williams PL, Warwick R, Dyson M, Bannister LH. Gray's Anatomy. Thirtysixth edition. Edinburgh: Churchill Livingstone, 1980:600-601
6. Zeren Z. Topografik Anatomi. 2. Kitap:2. Baskı. İstanbul: Ismail Akgün Matbaası, 1948;8
7. Wells SA Jr, Young VL, Andriole DA. Atlas of Breast Surgery. St.Louise: Mosby, 1994;173-176
8. Hata Y, Yano K, Matsuka K, Osamo I, Matsuda H, and Hosokawa K. Treatment of Chronic Facial Palsy by transplantation of the Neurovascularized Free Rectus Abdominis Muscle. Plast Reconstr Surg,1990;86(6):1178-1187
9. Ali QM. Sonographic anatomy of the rectus sheath:An introduction for new terminology and implication for rectus flaps. Surg Radiol Anat,1993;15:349-353
10. Clemente CD. Gray's Anatomy. Thirtieth American edition. Philadelphia:Lea and Febiger, 1985;492
11. Kazancıgil A, Hüseyinoğlu K. Anatomi Atlası Cilt 1. In:Platzer W; Taschenatlas der Anatomie, Band 1 Bewegungsapparat. Arkadaş Tıp Kitapları, 1986;88
12. Romanes GJ. Cunningham's Manuel of Practical Anatomy. Vol. 2. Fifteenth edition. Oxford: Oxford University Press,1992;98
13. Sabiston D. Textbook of Surgery. Thirteenth edition. Philadelphia: W.B.Saunders Company, 1986;777
14. Schwartz SI. Principles of Surgery. Fourth edition. New York: Mc Graw Hill Book Company, 1983;1421-1422
15. Basmajian JV, Slonecker CE. Method of Anatomy. Eleventh edition, Baltimore: Williams and Wilkins,1989;124-125
16. Feneis H.Resimli Anatomi Sözlüğü. İstanbul: Arkadaş Tıp Kitapları,1990;86
17. Mc Vay CB. Anson and Mc Vay Surgical Anatomy.Sixth edition. Toronto: W.B.Saunders Comp. Igaku-Shoin/Saunders,1984;498
18. Moore KL. Clinically oriented Anatomy. Thirth edition. Baltimore: Williams and Wilkins, 1992;136
19. Milroy FJ, Mc Afee DK. The Rectus Abdominis Muscle and the Epigastric Arteries. Surg Gynecol Obstet, 1960; 110:293-302